Chromatography

Components partition between two phases.

https://www.youtube.com/watch?v=0m8bWKHmRMM

1

1

Chromatography

The principle and method

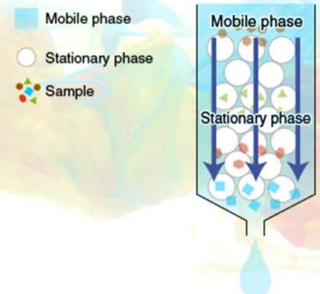

http://ruo.mbl.co.jp/bio/e/support/method/chromatography.html

2

2

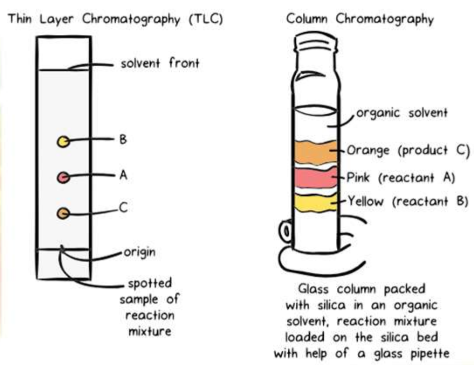

https://www.khanacademy.org/science/class-11-chemistry-india/xfbb6cb8fc2bd00c8:in-in-organic-chemistry-some-basic-principles-and-techniques/xfbb6cb8fc2bd00c8:in-in-methods-of-purification-of-organic-compounds/a/principles-of-chromatography

3

3

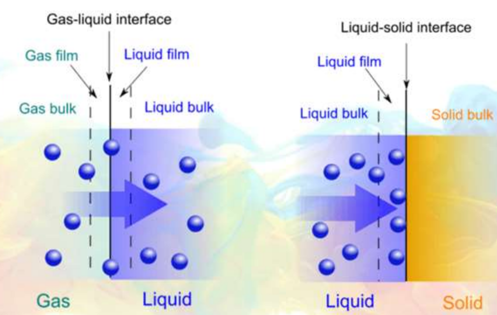

Absorption **Adsorption**

https://www.diffen.com/difference/Absorption_vs_Adsorption

4

4

Paper is made of cellulose fibres, and cellulose is a polymer of the simple sugar, glucose.

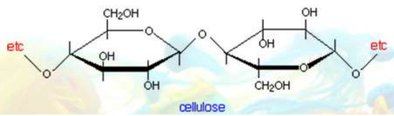

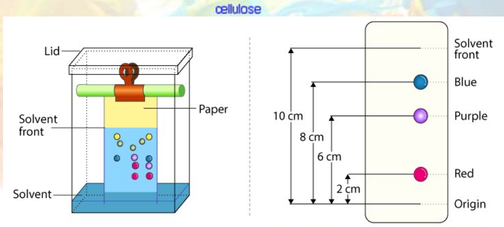

https://byjus.com/chemistry/paper-chromatography/

5

5

Paper chromatography

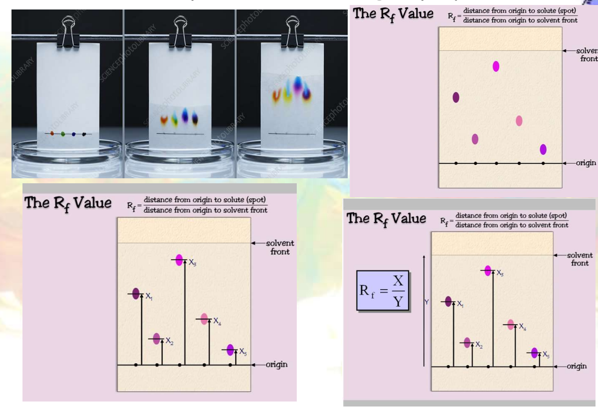

https://www.sciencephoto.com/media/860110/view/paper-chromatography

https://slideplayer.com/slide/4701883/

6

6

Table 12.5.1 . Properties of HPLC Mobile Phases

mobile phase	polarity index (P')	UV cutoff (nm)
cyclohexane	0.04	210
n-hexane	0.1	210
carbon tetrachloride	1.6	265
i-propyl ether	2.4	220
toluene	2.4	286
diethyl ether	2.8	218
tetrahydrofuran	4.0	220
ethanol	4.3	210
ethyl acetate	4.4	255
dioxane	4.8	215
methanol	5.1	210
acetonitrile	5.8	190
water	10.2	—

7

https://chem.libretexts.org/Bookshelves/Analytical_Chemistry/Analytical_Chemistry_2.1_(Harvey)/12%3A_Chromatographic_and_Electrophoretic_Methods/12.05%3A_High-Performance_Liquid_Chromatography

7

Ascending techniques

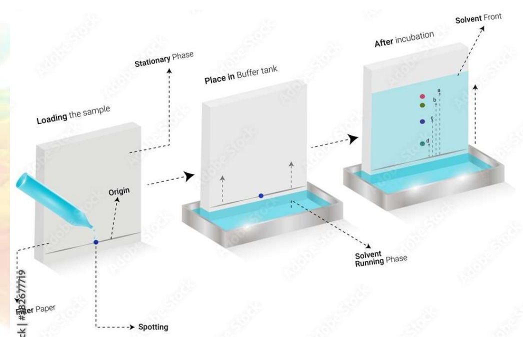

https://stock.adobe.com/th/images/ascending-chromatography-schematic-diagram-analysis-of-amino-acids-paper-chromatography-technique-biochemical-techniques/382677719

8

8

Descending techniques

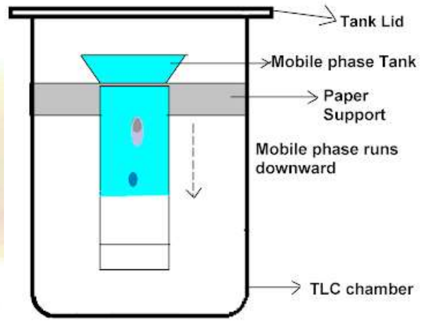

https://pharmainformationzone.blogspot.com/2020/04/descending-chromatography.html

9

9

Two-dimensional chromatography (2D)

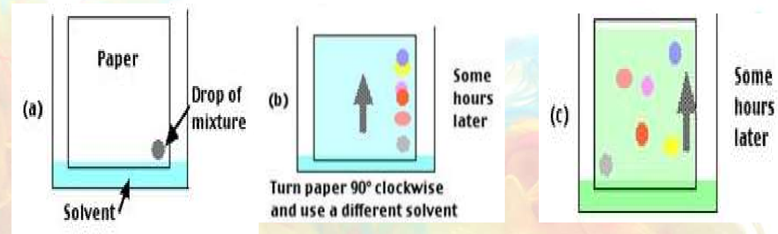

http://chromatographyscience.blogspot.com/2012/08/two-dimensional-techniques-in-paper.html

10

10

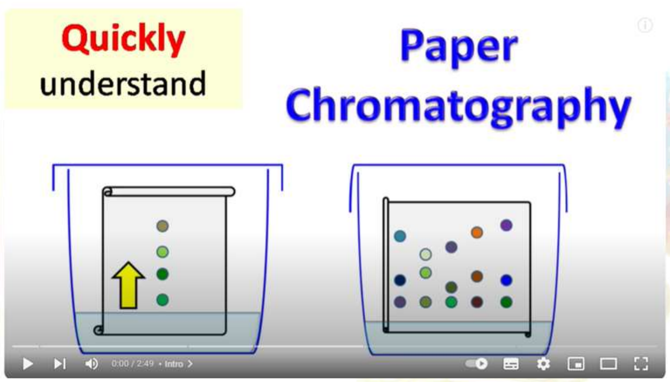

https://www.youtube.com/watch?v=mz_xcNrTK_U

11

11

Thin layer chromatography

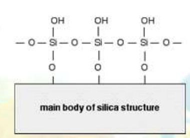

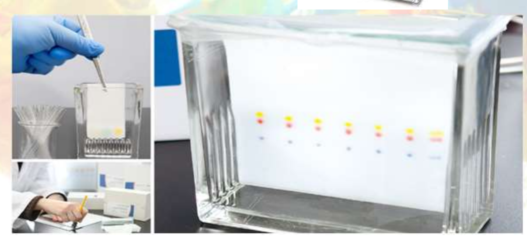

https://mz-at.de/en/chromatography/further-categories/thin-layer-chromatography/
http://www.chemguide.co.uk/analysis/chromatography/thinlayer.html#top
https://www.linkedin.com/pulse/thin-layer-chromatography-tlc-market-size-evaluating

12

12

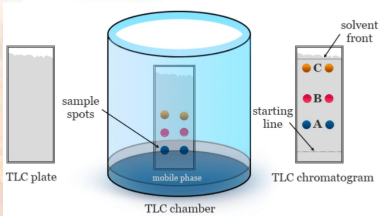

https://www.careerpower.in/school/chemistry/thin-layer-chromatography

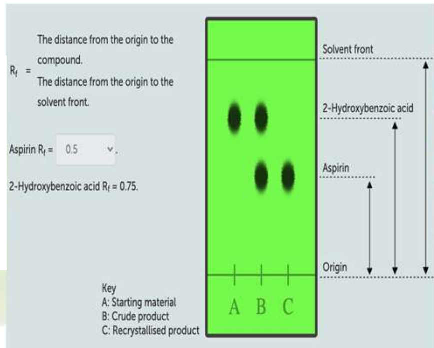

Using fluorescence

https://www.chegg.com/homework-help/questions-and-answers/see-two-spots-crude-product-thin-layer-chromatography-aspirin-q62594548

13

13

Comparison of different extraction methods: solvent extraction and steam distillation used for the analysis of the volatile components in *M. cajuputi leaves*

Mr. Suphachai Nampho

สารสกัดที่ได้จากการสกัด
ด้วยตัวทำละลาย

น้ำมันหอมระเหยจาก
การกลั่นด้วยไอน้ำ

14

14

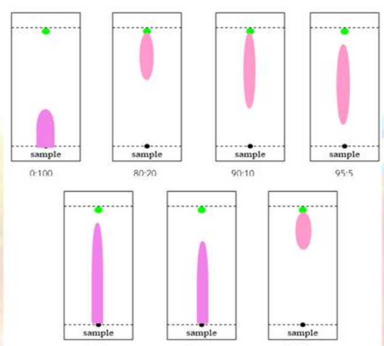

ผลการแยกสารสกัดตัวอย่างในอัตราส่วนเฟสเคลื่อนที่ต่าง ๆ (เฮกเซนต่อเมทานอล)

15

15

Separation of Plant Pigments by Column Chromatography (CC)

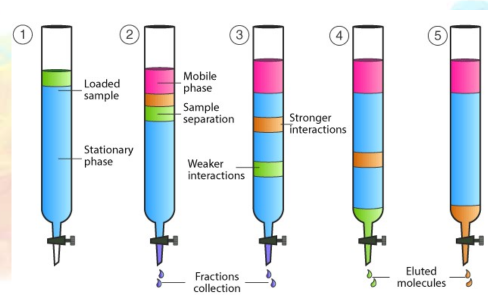

https://byjus.com/chemistry/column-chromatography/

16

16

Ion Exchange Chromatography

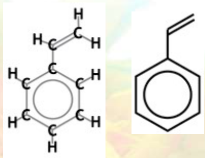

Chemical formula of styrene

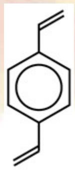

Divinylbenzene (DVB)

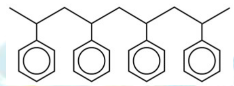

A small fraction of a polystyrene chain

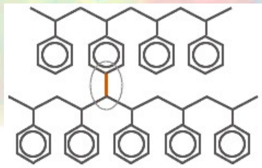

Cross-linked polystyrene

http://dardel.info/IX/resin_structure.html

17

17

Resin Structure and Manufacture

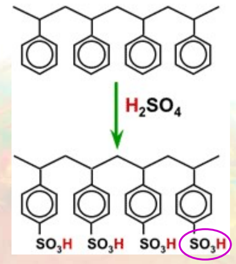

- Cation Exchange
  - Sulfonic acid
  - SO_3^- (H^+)
  - Carboxylic Acid

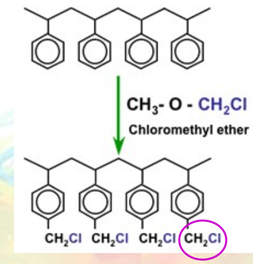

- Anion Exchange
  - Primary Amine
  - $NH_3^+(OH^-)$
  - Tertiary Amine

http://dardel.info/IX/resin_structure.html

18

18

Resin Structure and Manufacture

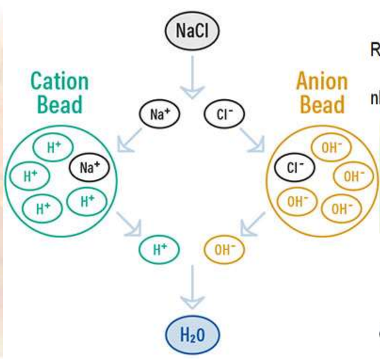

$$RCOOH + Na^+ + OH^- \rightarrow RCOO^-Na^+ + H_2O$$

$$nRCOO^-Na^+ + M^{n+} \rightarrow (RCOO^-)_nM^{n+} + nNa^+$$

$$xRCH_2N(CH_3)_3^+Cl^- + A^{x-} \rightleftharpoons [RCH_2N(CH_3)_3^+]_xA^{x-} + xCl^-$$

$$xRCH_2N(CH_3)_3^+OH^- + A^{x-} \rightleftharpoons [RCH_2N(CH_3)_3^+]_xA^{x-} + xOH^-$$

$^{x-}$ คือแอนไอออนต่าง ๆ เช่น OH^- , $SO_4^=$, NO_3^- ฯลฯ

19

19

Mobile Phase

- Cation Exchange - H^+
- Anion Exchange - OH^-
- pH is controlled with a Buffer Solution
  - e.g. HCO_3^-/CO_3^{--}

20

20

ปัจจัยที่ส่งผลต่อเรซิน

1. size of particles

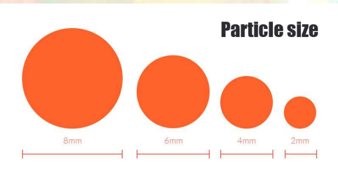

2. Degree of cross-linking

% Crosslinking	Moisture (%)	Capacity (meq/ml)
2	71	1.2
4	61	1.5
6	53	1.8
8	46	2.0
10	42	2.2
12	37	2.4
14	34	2.6
16	32	2.8

21

21

ปัจจัยที่ส่งผลต่อเรซิน

3. Strength of functional group

Resin	Functional group	Weak or Strong	Functional pH Range
DEAE	diethylaminoethyl $[-N^+(C_2H_5)_2H^+]$	weak anion	pH 2 - 9
ANX	diethylaminopropyl $[-N^+(C_2H_5)_2H^+]$	weak anion	pH 2 - 9
Q	quarternary amine $[-N^+(CH_3)_3]$	strong anion	pH 1 - 14
CM	carboxymethyl $[-O-CH_2COO^-]$	weak cation	pH 5 - 10
S	methyl sulfonate $[O-CH_2-CHOH-CH_2-O-CH_2-CHOH-CH_2-SO_3^-]$	strong cation	pH 2 - 12
SP	sulphonyl group $[-CH_2-CH_2-CH_2SO_3^-]$	strong cation	pH 2 - 14

4. Number of functional group

Nature	Functional group	Range	Applications	Capacity meq/g	Commercial resins
Strong acid	$-SO_3H$	pH < 2	Water softening	5	Lewatit S100, Amberlite IR-200
Weak acid	$=PO_2H$	pH > 4	Rare earth processing	10	Amberlite IFC-84 Duolite CC3
Strong base	$-NR_3X$	0 - 14	Uranium processing	4	Zerolit MPF Lewatit MP200
Weak base	$-NH_2$, $-NR_2$, $-NHR$	0 - 10	Uranium processing	5	Zerolite MPH Lewatit MP62
Chelating resin	Picolylamine $-N(CH_2C_5NH_4)_2$	-	Cu & Ni removal	1.5	XFS 4195

22

https://www.researchgate.net/figure/1-Classification-of-ion-exchange-resins-based-on-functional-groups_tbl1_232957574

22

Ion Exchange Chromatography – General Characteristics

- In general, ion exchangers favor binding of ions with:
  - ↑ charge
    - $3^+ > 2^+ > 1^+$; $Na^+ < Ca^{2+} < La^{3+} < Th^{4+}$
  - ↓ hydrated radius
    - $H^+ > Li^+ > Na^+ > K^+$
    - ↓ hydrated; exchange ↑
  - ↑ polarizability

Ion	Ionic Hydration Radius/Å
Li^+	3.82
Na^+	3.58
K^+	3.31
Rb^+	3.29
Cs^+	3.29
Ca^{2+}	4.12
Mg^{2+}	4.28
Sr^{2+}	4.12

https://www.researchgate.net/figure/The-hydration-radius-and-potential-of-the-ions_tbl1_370169111

23

23

Separation of Cadmium and Zinc on an Anion-Exchange Resin, and Their Determination Using Standardized EDTA Solution

Metal ions	Ionic radius (Å)	Hydrated radius (Å)
Zn^{2+}	0.83	4.30
Cd^{2+}	1.03	4.26

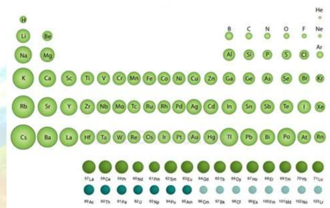

$$Zn^{+2} + 4Cl^- \Leftrightarrow ZnCl_4^{-2}$$
$$Cd^{+2} + 4Cl^- \Leftrightarrow CdCl_4^{-2}$$

Sample Addition to Anion-Exchange Resin:

$$2R^+Cl^- + ZnCl_4^{-2} \Leftrightarrow (R^+)_2ZnCl_4^{-2} + 2Cl^-$$
$$2R^+Cl^- + CdCl_4^{-2} \Leftrightarrow (R^+)_2CdCl_4^{-2} + 2Cl^-$$

24

https://www.researchgate.net/figure/Radius-and-hydration-energy-for-Zn-2-and-Cd-2-18_tbl1_232987565

24

Elution of Zinc:

$$(R^+)_2ZnCl_4^{-2} + (R^+)_2CdCl_4^{-2} + 6OH^- \Leftrightarrow 2R^+OH^- + (R^+)_2CdCl_4^{-2} + Zn(OH)_4^{-2} + 4Cl^-$$

Elution of cadmium:

$$(R^+)_2CdCl_4^{-2} + 2NO_3^- \Leftrightarrow 2R^+NO_3^- + Cd^{+2} + 4Cl^-$$

Eriochrome black T (EBT) indicator

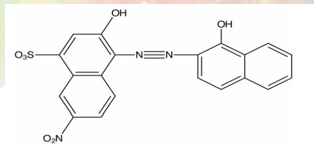

25

25

The titration reaction between the zinc tetra amine complex and HY^{-3} (the form of EDTA predominating at pH10)

$$Zn(NH_3)_4^{+2} + HY^{-3} \rightarrow ZnY^{-2} + NH_4^+ + 3NH_3$$

26

26

Ion Exchange Chromatography

https://www.youtube.com/watch?v=i4U4ndf2ayg

27

27

Ion-exchange chromatography

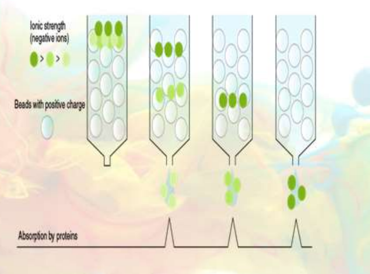

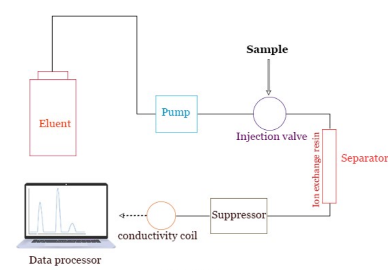

Instrumentation of Ion exchange

http://ruo.mbl.co.jp/bio/e/support/method/chromatography.html

https://www.priyamstudycentre.com/2021/10/ion-exchange-chromatography.html

28

28

Gas Chromatography

https://www.youtube.com/watch?v=iX25exzwKhl

29

29

Isothermal & Temperature programming

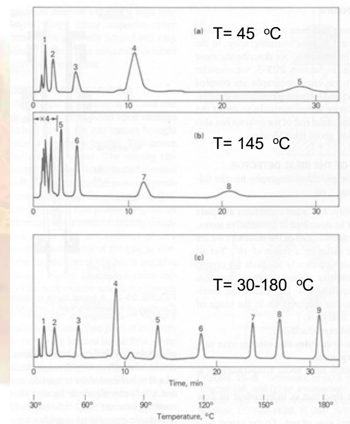

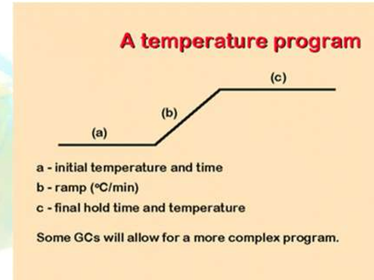

https://slideplayer.com/slide/8198088/

30

30

High performance liquid chromatography

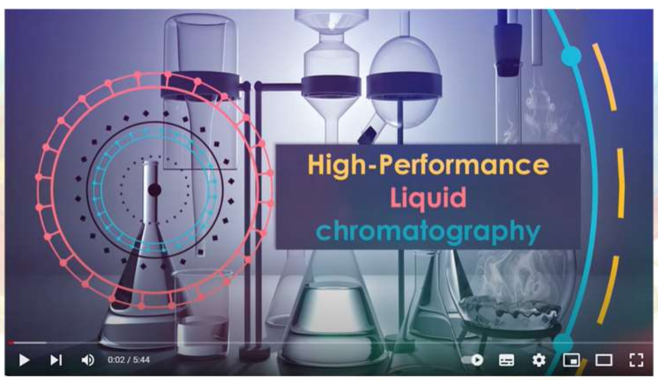

https://www.youtube.com/watch?v=eCj0cRtJvJg

31

31

HPLC

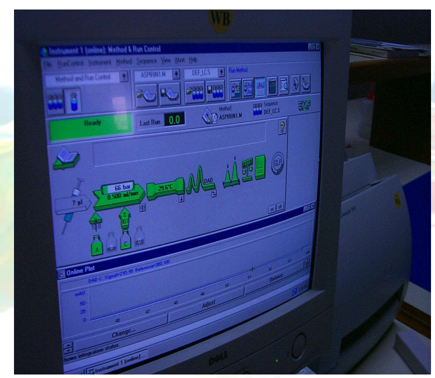

32

32

High performance liquid chromatography

	Normal Phase	Reversed Phase
Stationary phase	Polar (silica gel)	Non-polar (C18)
Mobile phase	Non-polar (organic solvents)	Polar (aqueous/organic)
Sample movement	Non-polar fastest	Polar fastest
Separation based on	Different polarities (functionality)	Different hydrocarbon content

33

33

Isocratic & Gradient elution

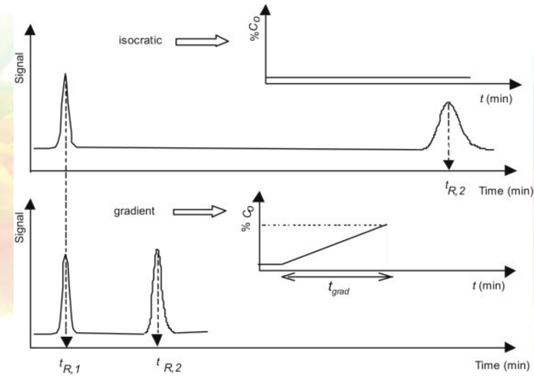

https://www.sciencedirect.com/topics/materials-science/gradient-elution

34

34

Chromolith RP-18e (100 × 3 mm) column; isocratic conditions: Mobile phase: 2% acetonitrile, 37% methanol, 0.1% formic acid, flow rate 1.1 mL/min, t = 25 °C;

gradient conditions: Mobile phase:
A = 5% acetonitrile, 0.1% formic acid;
B = 80% methanol, 0.1% formic acid;
gradient: 0 min 30% B, 12 min 60% B, 13 min 60% B, 14 min 30% B, 16.5 min stop, flow rate 1.1 mL/min, t = 25 °C.

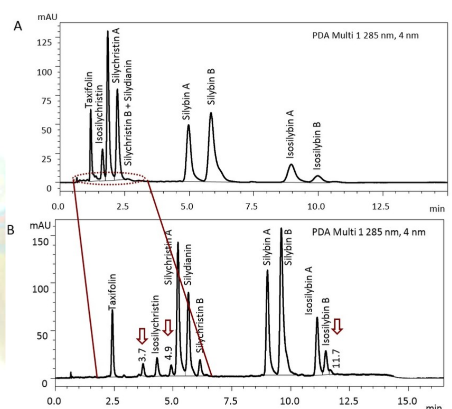

https://www.researchgate.net/figure/Comparison-of-the-isocratic-A-and-gradient-B-HPLC-analytical-method-for-silymarin-SM_fig2_338806376

35

35

The Chromatogram

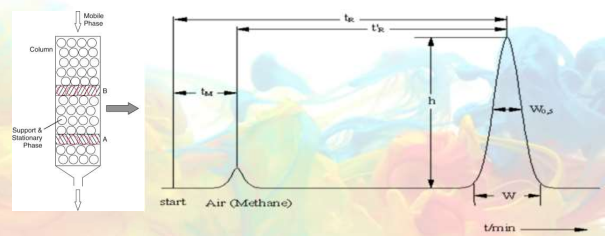

t_M :retention time of air or mobile phase

t_R :retention time

https://slideplayer.com/slide/9221930/

https://www.sciencedirect.com/topics/chemistry/chromatography

36

36

The Capacity Factor; k'

$$k'_A = \frac{K_A V_S}{V_M} \qquad \text{.............................(1)}$$

$$k'_A = \frac{t_R - t_M}{t_M} \qquad \text{.............................(2)}$$

k'_A : capacity factor

V_S : volume of stationary phase

K_A : partition ratio

V_M : volume of mobile phase

37

37

The Selective Factor; α

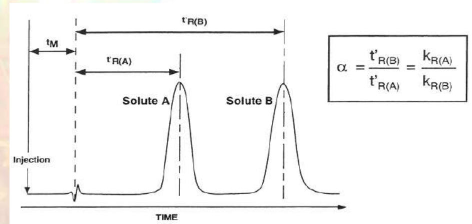

$$\alpha = \frac{K_B}{K_A} \qquad \text{.............................(3)}$$

$$\alpha = \frac{k'_B}{k'_A} \qquad \text{.............................(4)}$$

$$\alpha = \frac{(t_R)_B - t_M}{(t_R)_A - t_M} \qquad \text{...................(5)}$$

38

38

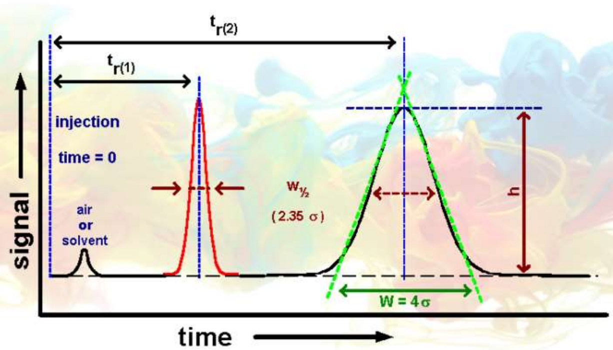

39

39

The Efficiency of chromatographic columns

Number of theoretical plates; N

$$N = \frac{L}{H} \qquad \text{.............................(6)}$$

$$N = 16\left(\frac{t_R}{w}\right)^2 = 5.54\left(\frac{t_R}{w_{1/2}}\right)^2 \qquad \text{...............(7)}$$

L : the length of the column

H : plate height

40

40

Number of theoretical plates; N

$$N_{req} = 16R^2\left(\frac{\alpha}{\alpha - 1}\right)^2\left(\frac{1 + k_2'}{k_2'}\right)^2$$

$$k_2' = \frac{t_{R_2} - t_M}{t_M}$$

41

41

Resolution; R

$$R = \frac{t_{R_2} - t_{R_1}}{\frac{w_1}{2} + \frac{w_2}{2}} = \frac{2\left(t_{R_2} - t_{R_1}\right)}{w_1 + w_2} \qquad \text{...............(8)}$$

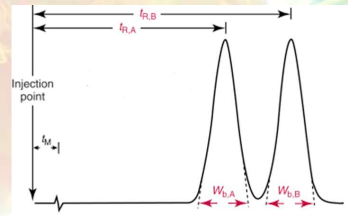

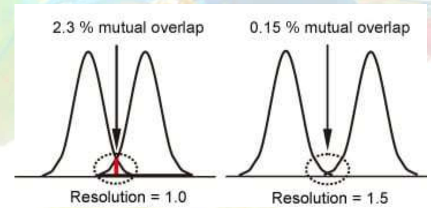

https://www.sciencedirect.com/topics/chemistry/chromatography

42

42

Resolution

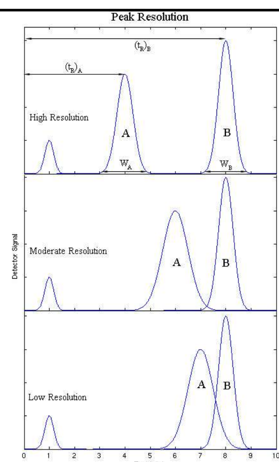

https://chem.libretexts.org/Bookshelves/Analytical_Chemistry/Supplemental_Modules_(Analytical_Chemistry)/Instrumental_Analysis/Chromatography/High_Performance_Liquid_Chromatography

43

43

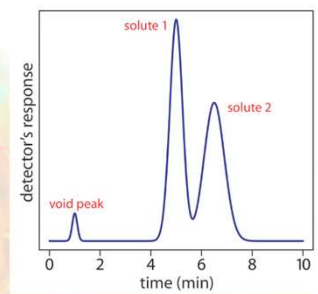

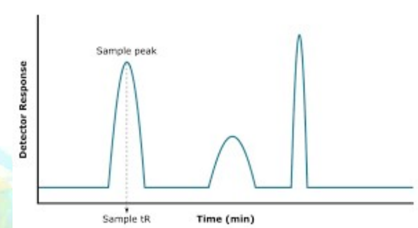

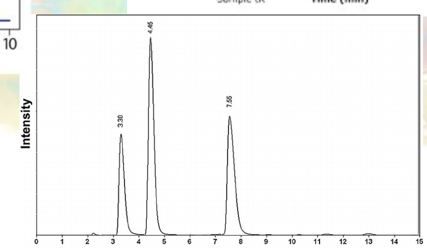

5/29/2026

44

44

ตัวอย่างที่ 9.1

การวิเคราะห์วิตามิน B6 ในน้ำผึ้งด้วย HPLC โดยใช้สารมาตรฐานที่มีความเข้มข้น 5.00 mg/L ได้พื้นที่พีค (area) = 1200 หน่วย เมื่อฉีดสารตัวอย่างไม่ทราบความเข้มข้น ได้พื้นที่พีค = 1560 หน่วย ความเข้มข้นของวิตามิน B6 ในน้ำตัวอย่างเท่ากับกี่ mg/L (สมมติความสัมพันธ์เป็นเชิงเส้นตรง)

ตัวอย่างที่ 9.2

ในการวิเคราะห์สารลูทีนในเมล็ดข้าวด้วย HPLC:
- การสกัดสาร 1 กรัมด้วยเมทานอล 3.00 มล.
- สร้างกราฟมาตรฐานได้สมการเชิงเส้นคือ $y=37.857x + 14.838$
- กรองสารสกัดได้ 1.50 มล. นำไปวิเคราะห์ ได้พื้นที่ใต้พีกเท่ากับ 2541

สารลูทีนในเมล็ดข้าวกี่มิลลิกรัม

45

45

ตัวอย่างที่ 9.3

จากการวิเคราะห์กรดแกลลิกในพืชสมุนไพรพื้นบ้าน ขิง ข่า ตะไคร้ เมื่อนำมาสร้างกราฟมาตรฐานโดนพล็อตระหว่างความเข้มของสารมาตรฐานแกลลิกกับพื้นที่ใต้พีกได้ผลดังตาราง

จงสร้างกราฟมาตรฐาน และเมื่อนำตัวอย่างมาวิเคราะห์ได้พื้นที่ใต้พีกดังนี้
1. ขิง เท่ากับ 524
2. ข่า เท่ากับ 890
3. ตะไคร้ เท่ากับ 450

โดยสกัดสาร 1 กรัมในเอทานอล 2.00 มล. ในตัวอย่างมีกรดแกลลิก (MW = 170.12 g/mol) กี่มิลลิกรัมในตัวอย่าง 1 กิโลกรัม

ความเข้มข้น	พื้นที่ใต้พีค
0.5	28.27
1	47.80
5	158.53
10	370.70
30	1152.48
60	2250.80
100	4044.95
200	7480.62

46

46

ตัวอย่างที่ 9.4

จากโครมาโทแกรมของ HPLC แสดงพีคของสาร 2 ตัวที่ตรวจพบดังนี้:
1. ค่า **k'** ของสาร A และ B
2. ค่า **selectivity (α)** ของ B เทียบกับ A
3. ค่า **resolution** ระหว่าง A กับ B

รายการ	สาร A	สาร B
Retention time (t_R)	2.31 min	5.64 min
ความกว้างพีคที่ฐาน (w_b)	0.50 min	0.60 min
เวลา dead time (t_0)	1.0 min	1.0 min

47

47

ตัวอย่างที่ 9.5

จากโครมาโทแกรมของการวิเคราะห์ด้วย HPLC พบว่า:
- สาร C มี t_R = 8.20 min
- ความกว้างของพีคที่ครึ่งความสูง ($w_{1/2}$) = 0.40 min
- ความยาวคอลัมน์ = 300 เมตร

1. คำนวณ จำนวน theoretical plates (N) โดยใช้สูตรจาก $w_{1/2}$
2. คำนวณ plate height (H) ของคอลัมน์นี้

48

48

DEVELOPMENT OF A HIGH-PERFORMANCE LIQUID CHROMATOGRAPHY METHOD FOR THE QUANTITATIVE DETERMINATION OF RUTIN AND LUTEIN IN FLOWERS AND MUSHROOMS

นางสาวเกตน์นิภา โซวเซ็ง
รหัสนักศึกษา 6504103304 สาขาวิชาเคมี
อาจารย์ที่ปรึกษา ผศ.ดร.ศิริรัตน์ ไพศาลสุทธิชล

51

49

Experimental

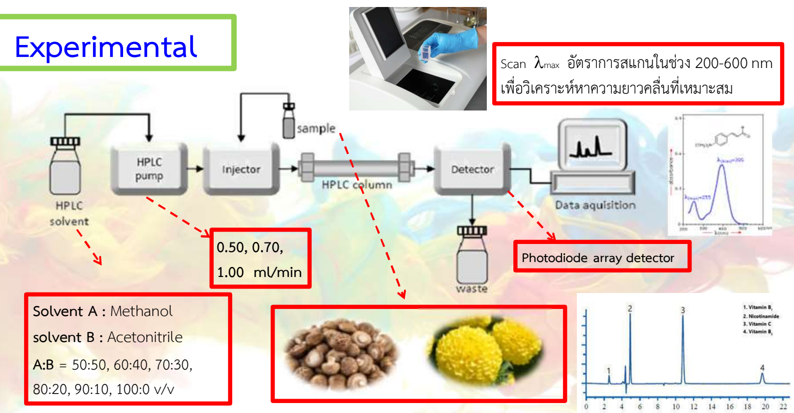

50

50

The optimize Condition of HPLC-DAD

Parameter	Condition
Mobile phase	Methanol : Acetonitrile (100:0 ; v/v)
Flow rate	1.00 mL/min
Column	C18 (250 mm x 4.6 mm x5 μm)
Detection wavelength	rutin 258, lutein 444 nm
Retention time	20 min
t_R	rutin = 2.31 min lutein = 5.64 min

51

51

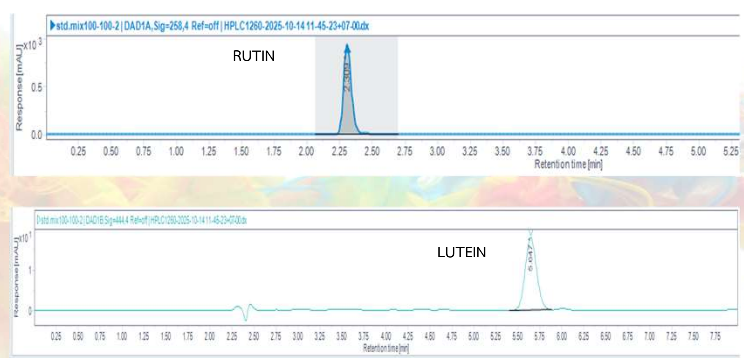

52

52